

ChinaFLUX第14次通量观测理论与技术培训
——通量仪器观测技术、软件数据分析与研究实例

通量数据与陆地碳循环 过程模型的融合

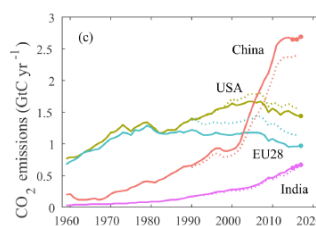
张黎 何洪林 任小丽 于贵瑞等

中国科学院地理科学与资源研究所
生态系统网络观测与模拟重点实验室

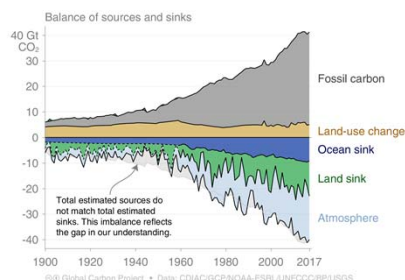
2019年8月8日 北京

陆地生态系统碳循环

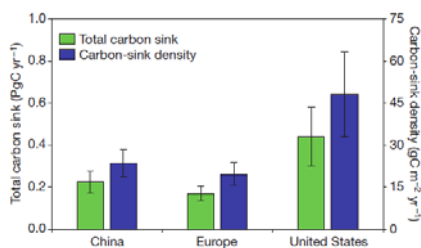
- 陆地碳循环是生态系统研究的核心科学问题。
- 中国陆地碳循环是全球碳循环的重要组成部分。中国既是最大的碳排放国之一，也是重要的碳吸收区域。碳源汇研究是国家应对气候变化的重大科技需求。



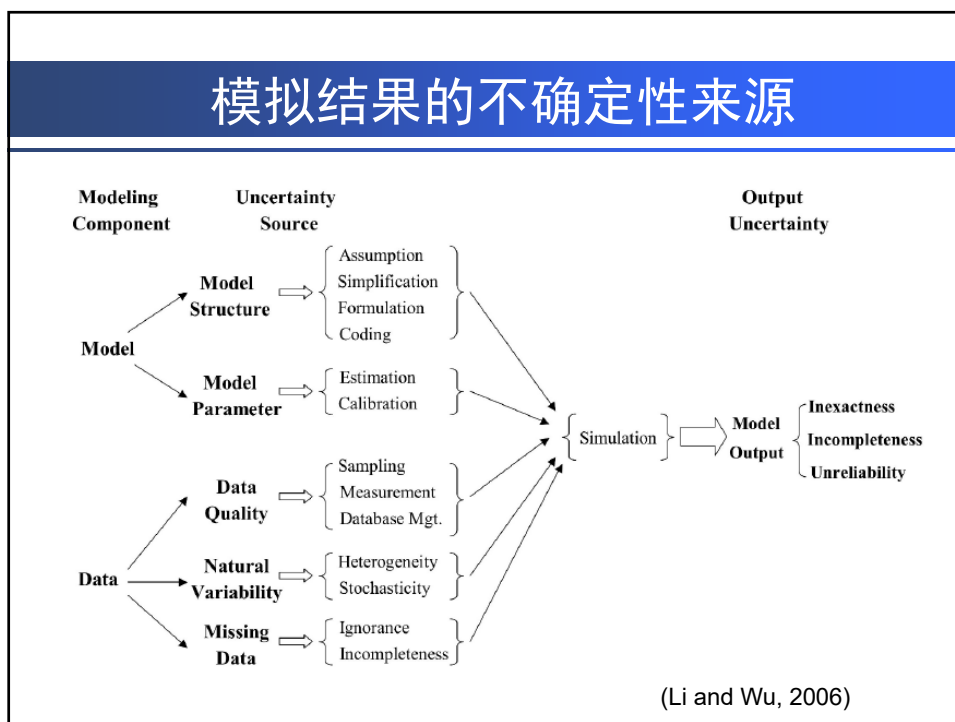
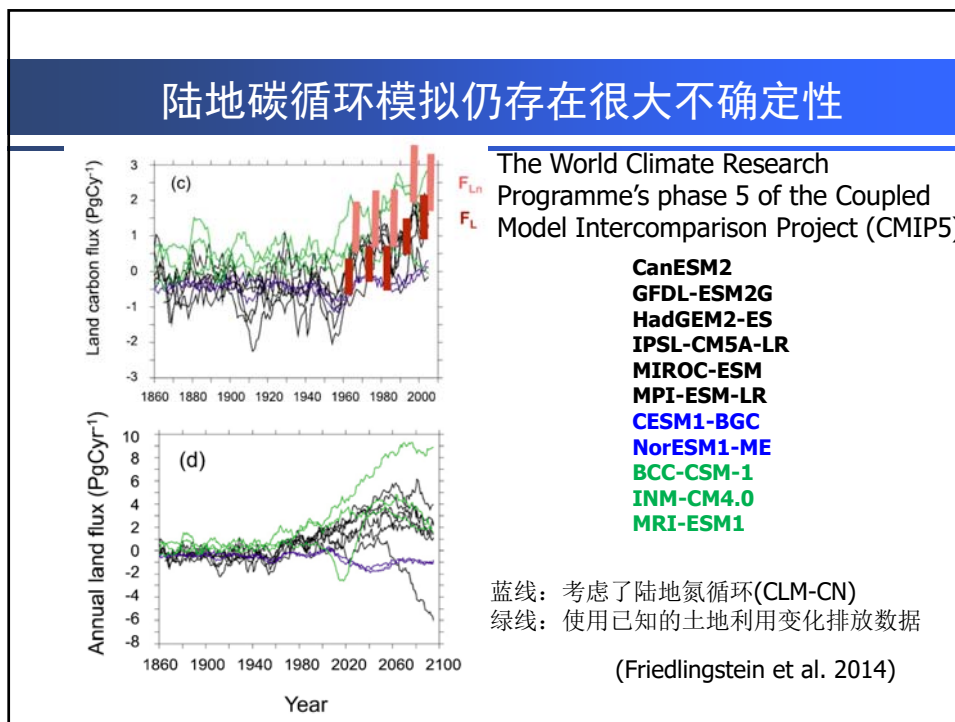
碳排放 (Global Carbon Budget 2018)

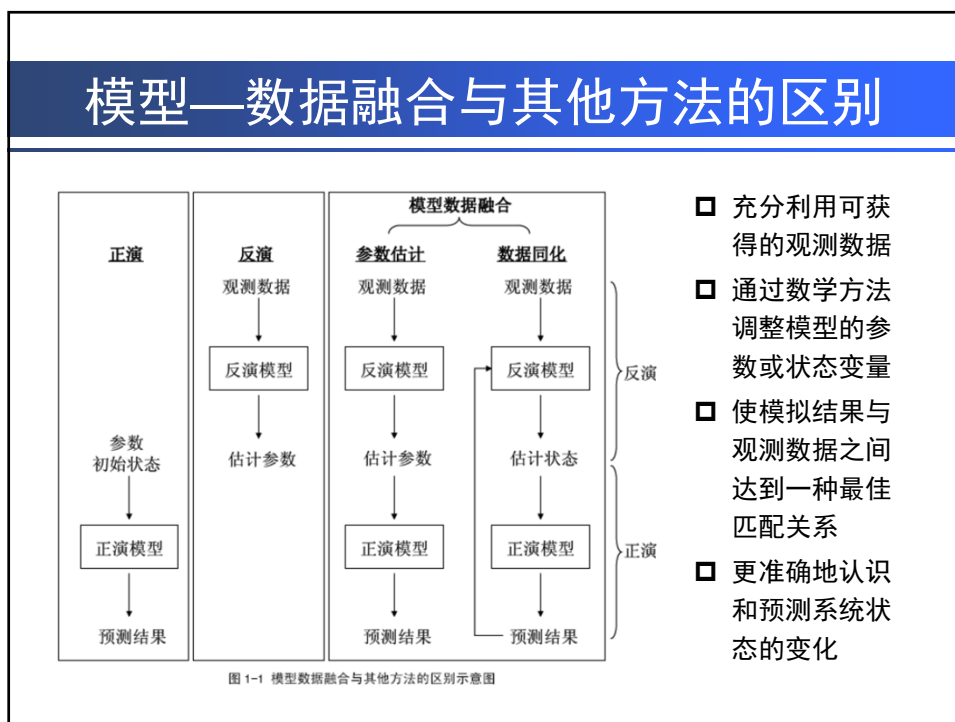
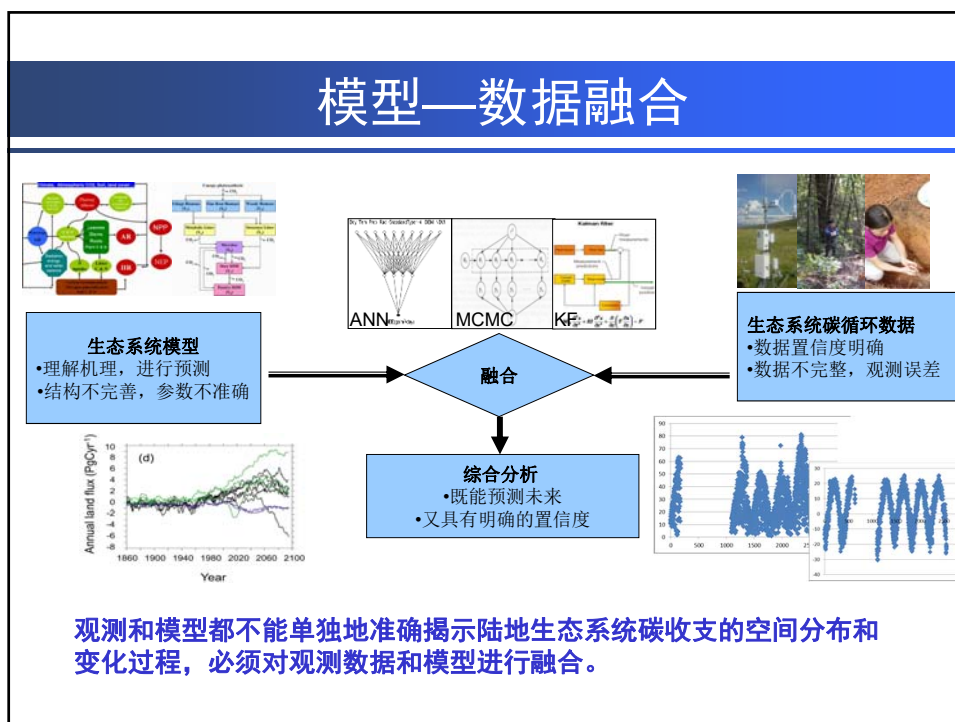


陆地碳收支 (Global Carbon Budget 2018)



碳汇 (Piao et al., 2009, Nature)





碳循环模型

从系统动力学的角度来说，陆地生态系统碳循环模型可以通过碳库的状态空间方程表示为：

连续形式

$$\frac{dX}{dt} = f(x, u, p) + noise$$

碳库等状态变量 气象/土壤等外部变量

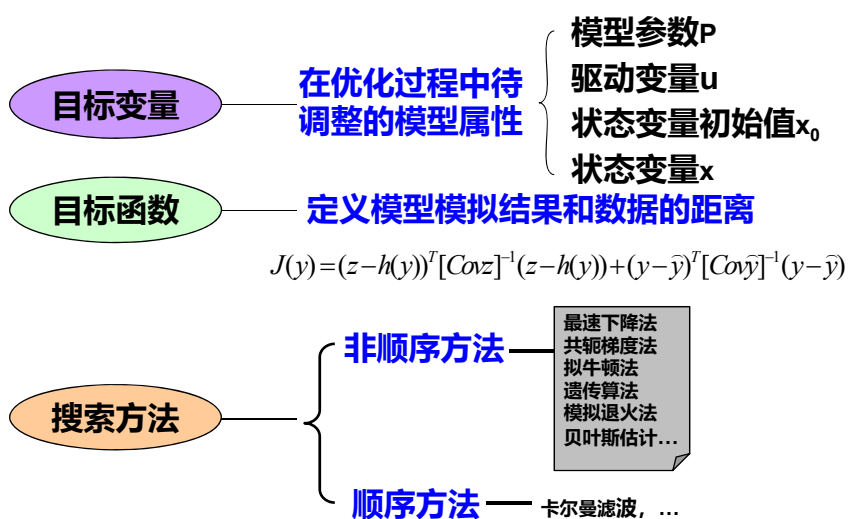
模型算子 参数

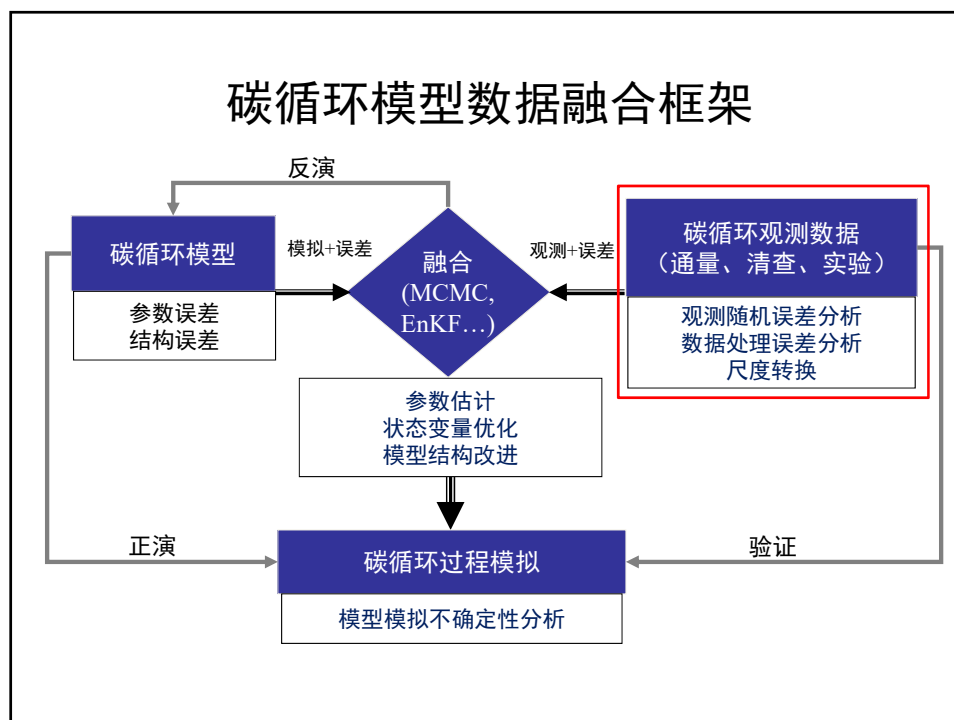
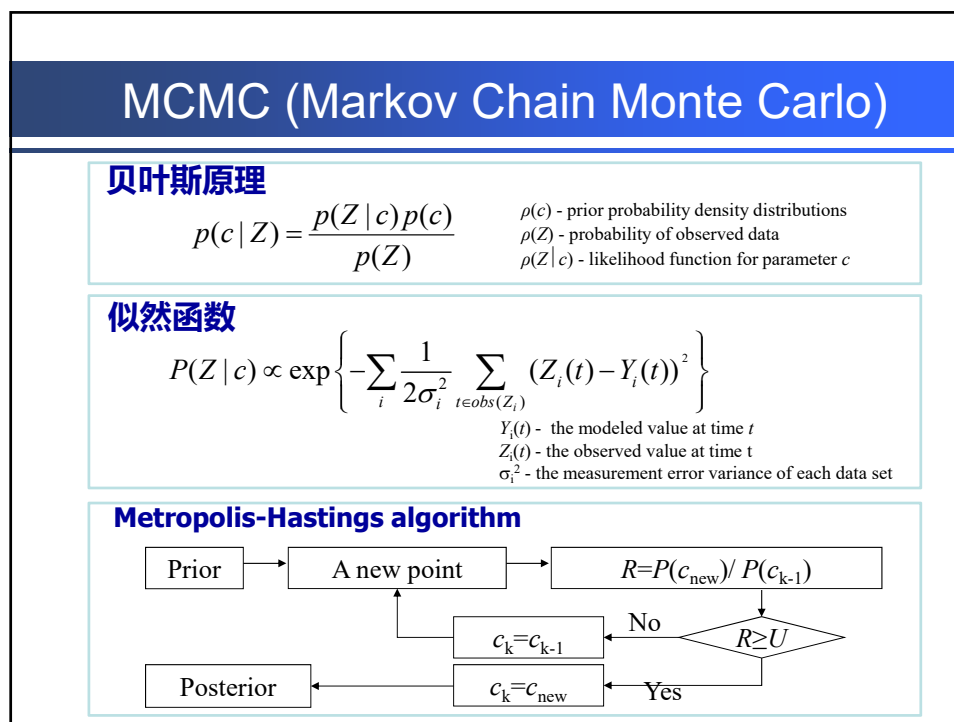
离散形式

$$x^{n+1} = \phi(x^n, u^n, p) + noise = x^n + \Delta t \cdot f(x^n, u^n, p) + noise$$

Raupach et al. 2005, GCB

融合方法

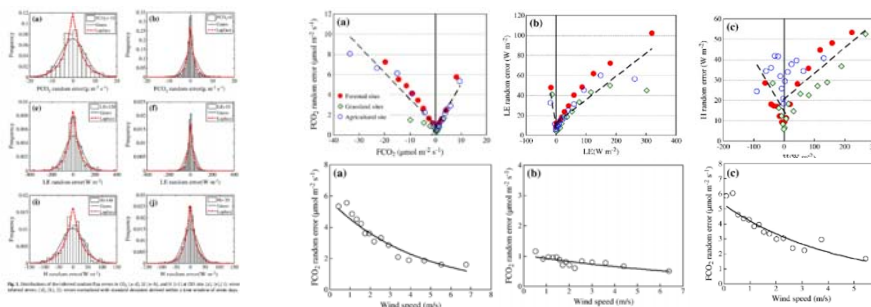




站点尺度通量观测数据不确定性研究

——通量观测数据随机误差的量化

观测数据误差的确定是开展碳循环模型数据融合的基础

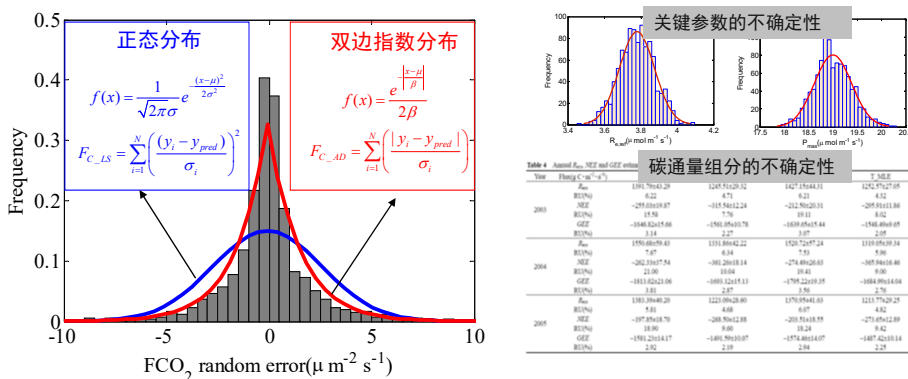


- 通量观测随机误差呈现尖峰厚尾的特征，更多服从双边指数分布
- 因站点和植被类型而异，受环境变量的影响
- 与AmeriFLUX, CarbonEurope在分布、大小上呈现一致性

He, Hl et al., Ecological Informatics, 2010

站点尺度通量观测数据不确定性研究

——碳通量组分拆分过程中两种参数优化方法的比较



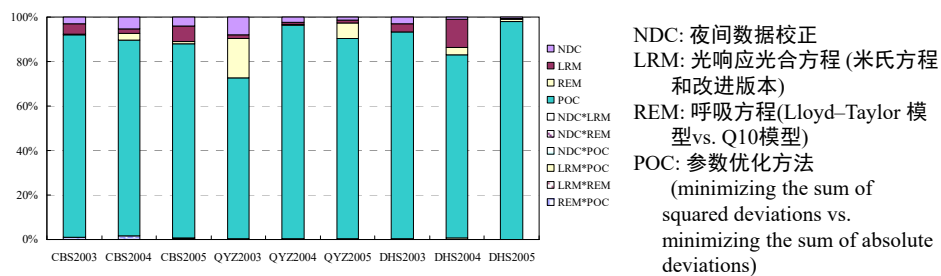
- 最大似然参数优化方法与普通最小二乘参数优化方法模拟的Re、NEE和GEE结果分别相差12.2%、34.3%和5.4%
- 参数优化方法的选择对CO₂通量估算的影响高于模型的选择
- 不同时间尺度碳通量组分不确定性大小存在差异

Liu M et al., Science in China Series D: Earth Sciences, 2009

站点尺度通量观测数据不确定性研究

——碳通量数据处理过程中不确定性来源拆分

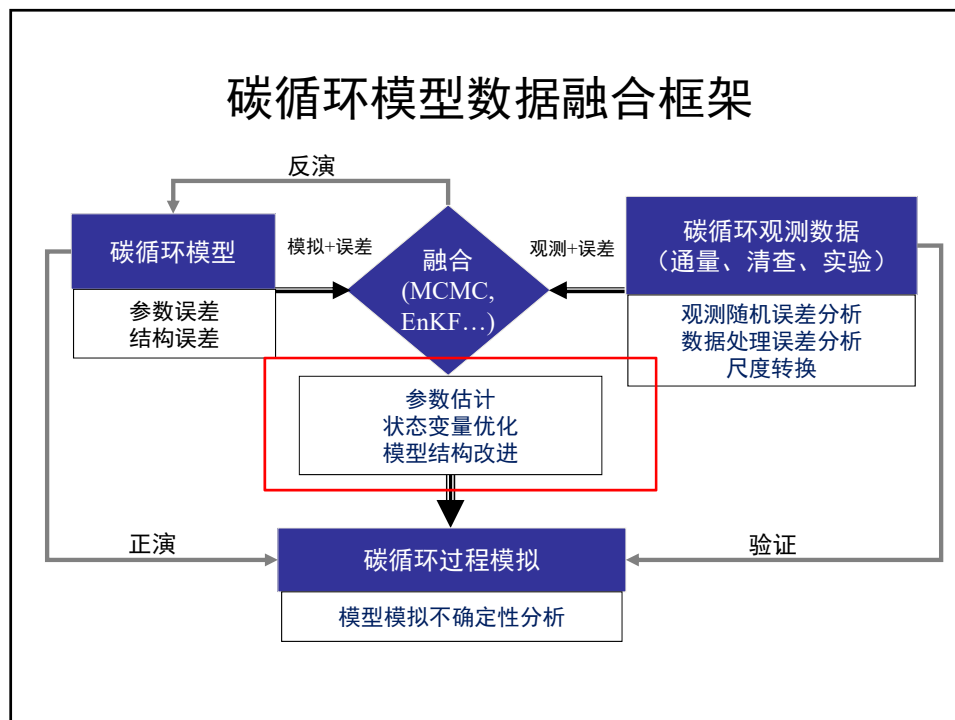
利用三个ChinaFLUX森林站点的NEE数据,系统探究数据处理过程中夜间数据的校正、插补模型选择和参数优化方法的不确定拆分



不确定性的主要来源是参数优化方法的选择, 其对年NEE不确定性贡献了88.7%

Liu et al., JFR, 2012

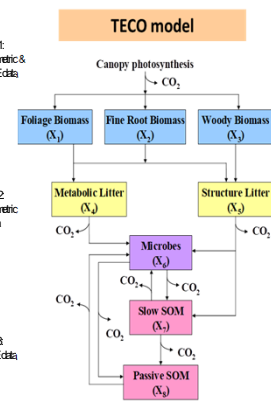
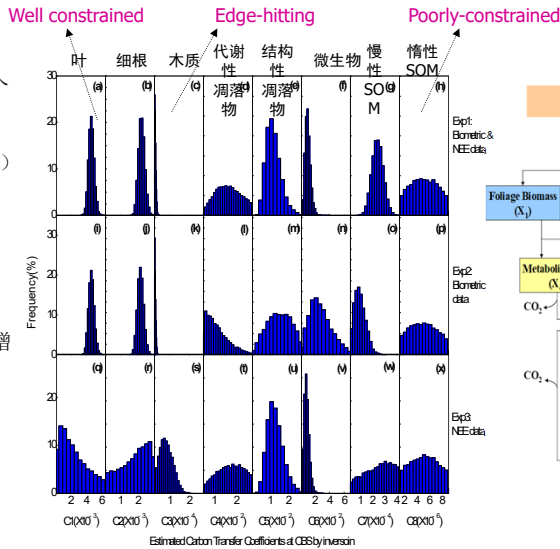
碳循环模型数据融合框架



站点尺度模型数据融合研究——参数估计

—— 多源数据（生物量、土壤有机碳、凋落物和NEE）反演碳周转系数——长白山, 千烟洲, 鼎湖山

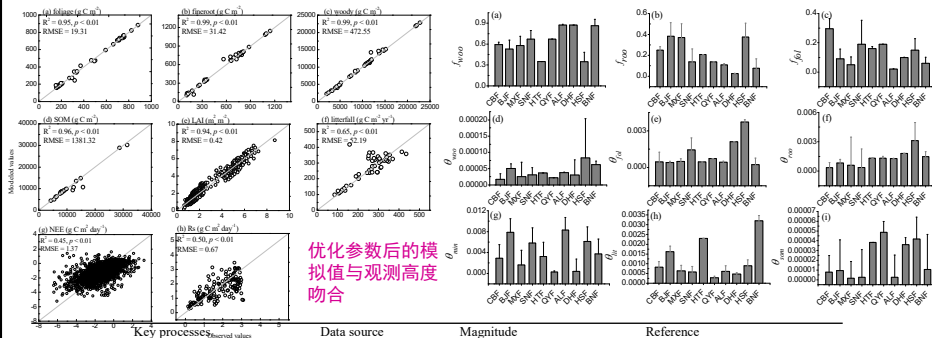
- 生物量数据对3个植物库（叶、细根和木质）的碳转移系数（ c_1 、 c_2 和 c_3 ）和慢性土壤有机质库的碳转移系数（ c_7 ）具有较好的约束作用
- 梯度相关技术测定的NEE数据有助于增强对代谢性凋落物库、结构性凋落物库和微生物库的碳转移系数（ c_4 、 c_5 和 c_6 ）的约束



Zhang et al., 2010, JGR-Biogeosciences

站点尺度模型数据融合研究——参数估计

—— 长时序多源数据（生物量、土壤有机碳、凋落物和NEE）反演碳周转、分配系数（10个森林站）

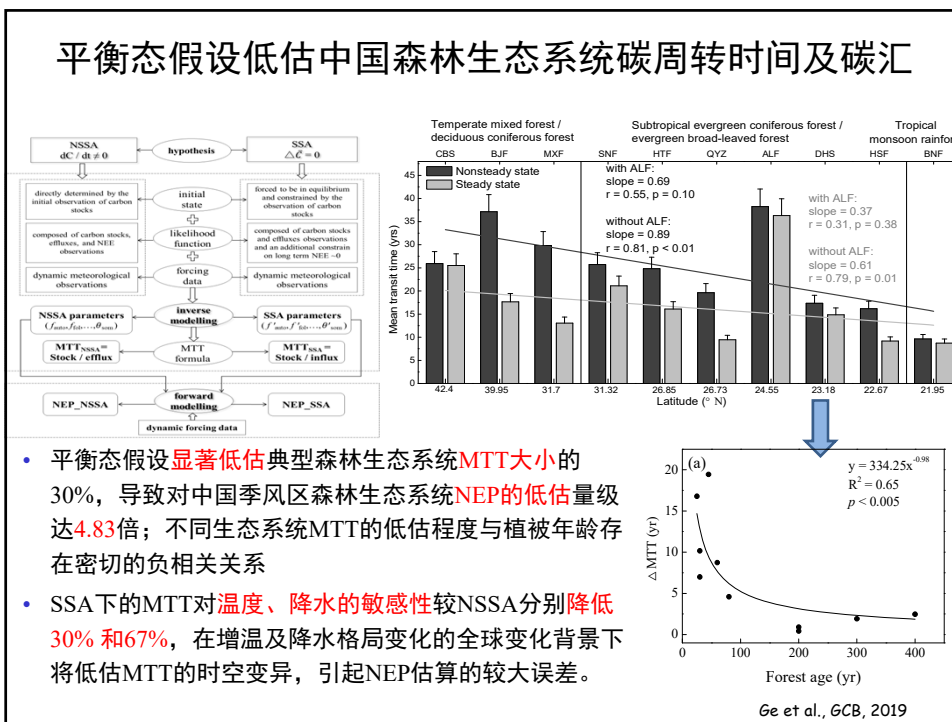


优化参数后的模拟值与观测高度吻合

Key processes	Data source	Magnitude	Reference
Vegetation allocation	NPP _{root} /NPP	forest database / FLUXNET	Malhi et al., 2011; Wolf et al., 2011; Chen et al., 2013
	-	0.67	This study
Vegetation turnover	minirhizotron observations	0.63–2.63 years	Shan et al., 1993; Wen et al., 1999; Yang and Li, 2003
	isotope observations	4.2–5.7 years	Matamala et al., 2003; Johnsen et al., 2005
Wood turnover	-	2.4 years	this study
	biomass inventory	14–200 years	Mantgem et al., 2009; Zhou et al., 2013
	-	48.54 years	This study
Soil turnover	Soil decomposition	literatures	Raich & Schlesinger, 1992
	-	86.55 years	This study

Ge et al., GCB, 2019

平衡态假设低估中国森林生态系统碳周转时间及碳汇



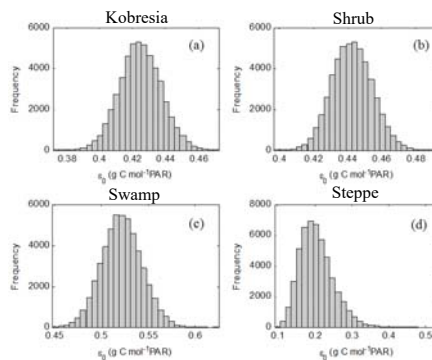
- 平衡态假设显著低估典型森林生态系统MTT大小的30%，导致对中国季风区森林生态系统NEP的低估量级达4.83倍；不同生态系统MTT的低估程度与植被年龄存在密切的负相关关系
- SSA下的MTT对温度、降水的敏感性较NSSA分别降低30%和67%，在增温及降水格局变化的全球变化背景下将低估MTT的时空变异，引起NEP估算的较大误差。

区域尺度模型数据融合研究——参数估计

—— VPM 光能利用率估算

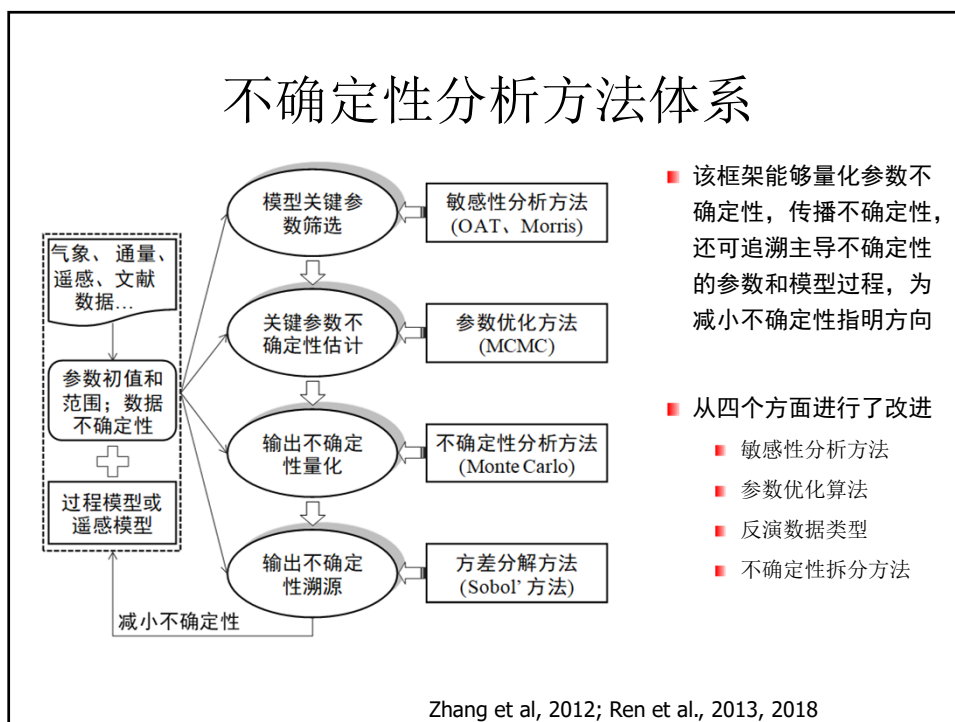
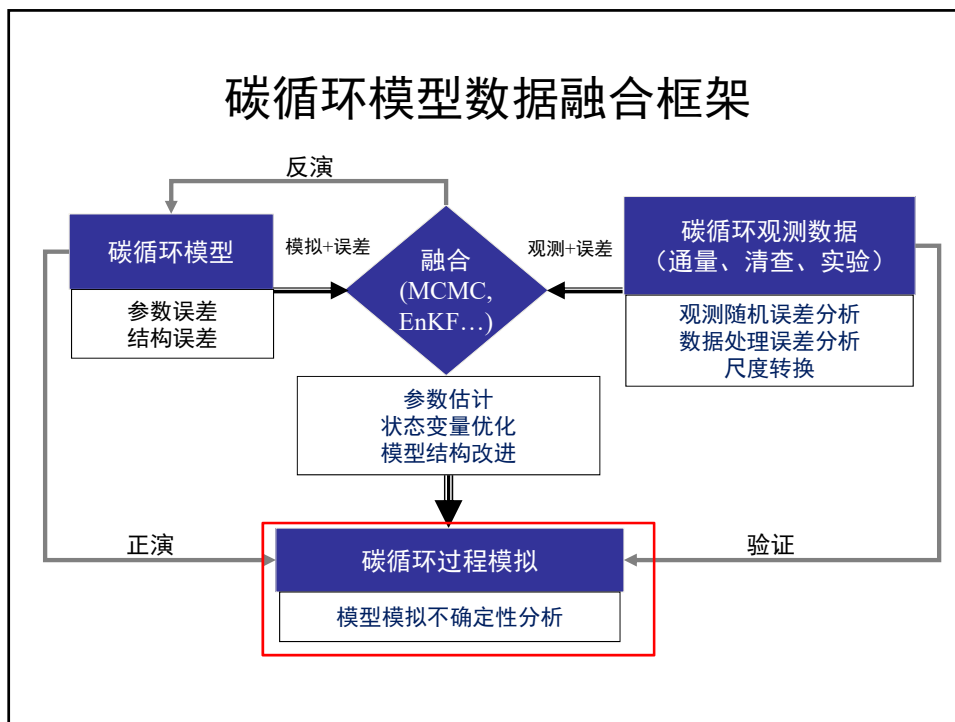
参数站点交叉估计验证结果

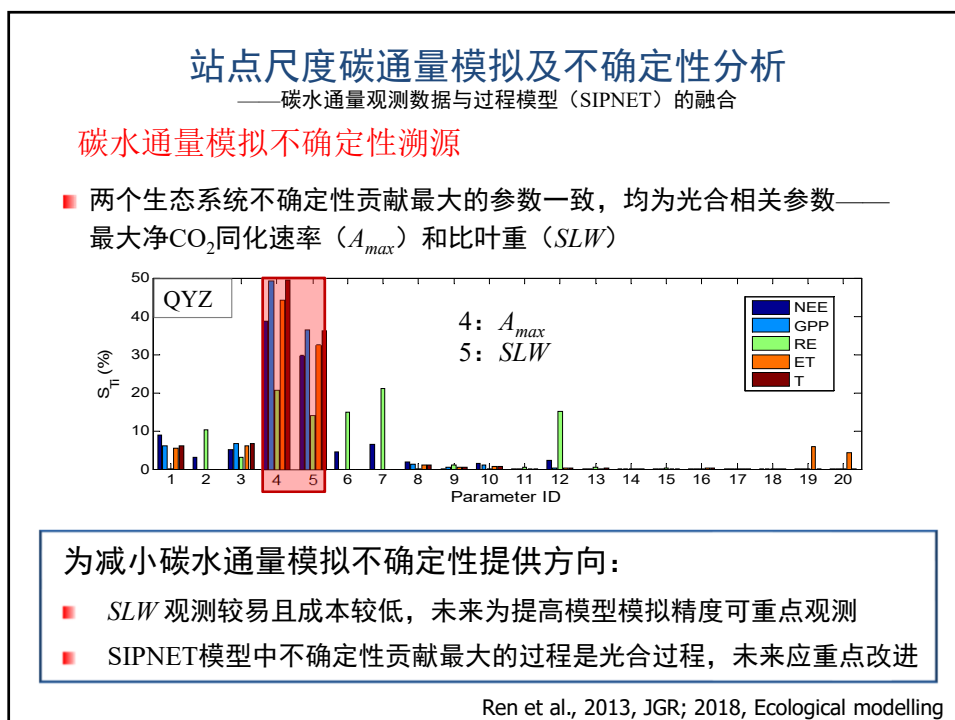
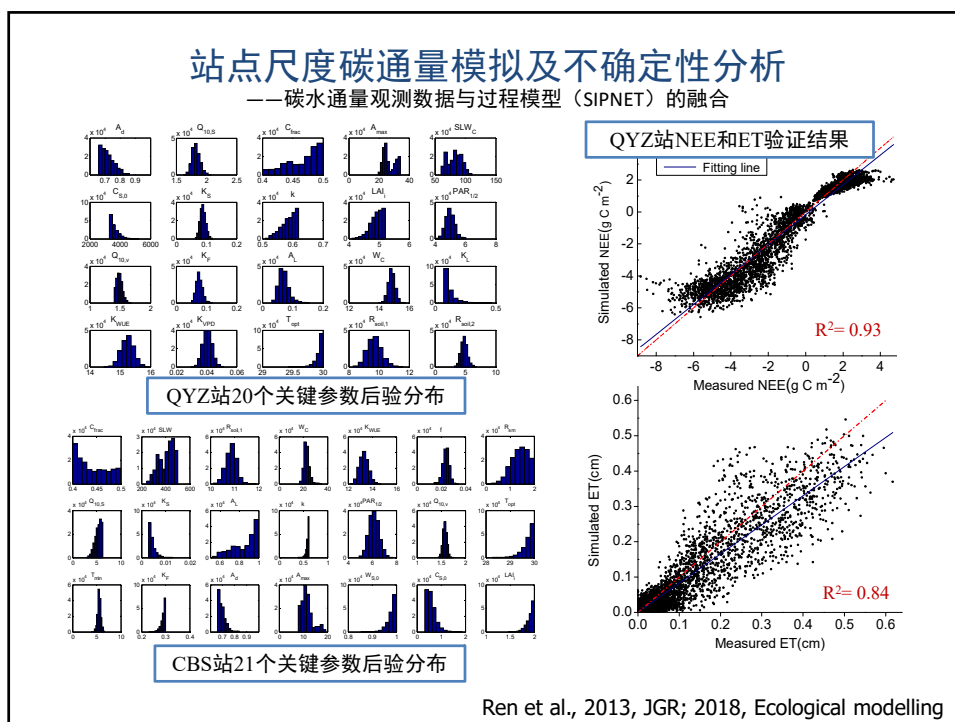
Site*	ε ₀			R ²
	mean (g C mol ⁻¹ PAR)	std (g C mol ⁻¹ PAR)	cv (%)	
<i>Alpine kobresia meadow</i>				
HBKO	0.346	0.016	4.742	0.718
GLKO	0.460	0.014	3.038	0.561
ARKO	0.423	0.016	3.723	0.682
Joint-site	0.425	0.013	2.953	/
<i>Alpine swamp meadow</i>				
HBSW	0.533	0.047	8.839	0.653
DNXSW	0.509	0.022	4.422	0.462
MQSW	0.503	0.021	4.16	0.428
Joint-site	0.522	0.021	4.092	/
<i>Alpine meadow steppe</i>				
DNST	0.207	0.11	53.228	0.161
ZFST	0.184	0.041	22.126	0.231
NMCST	0.233	0.056	24.147	0.216
Joint-site	0.204	0.045	22.215	/
<i>Alpine shrub meadow</i>				
Joint-site	0.443	0.012	2.709	/



- 不同类型的最大光能利用率估计值 (g C mol⁻¹ PAR)
 - ✓ Alpine kobresia meadow: 0.425 ± 0.013
 - ✓ Alpine shrub meadow: 0.443 ± 0.012
 - ✓ Alpine swamp meadow: 0.522 ± 0.021
 - ✓ Alpine meadow steppe: 0.204 ± 0.045

He et al., 2014, JGR-Biogeosciences



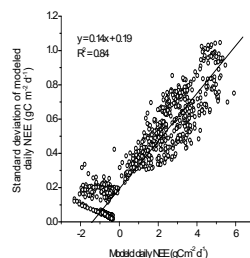
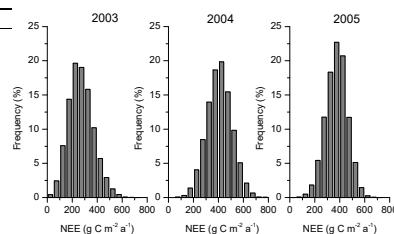


站点尺度碳水通量模拟及不确定性分析

——碳通量观测数据 (NEE) 与过程模型CEVSA2的融合

表: 敏感性参数对模拟NEE、GPP和RE年总量不确定性的贡献 (%)

参数	定义	NEE	GPP	RE
W_c	田间持水量	75.35	90.55	25.69
K_m	维持呼吸系数	7.45	0.03	35.21
L_{max}	最大叶面积指数	4.36	0.04	22.03
k_w	土壤容重	2.96	3.39	0.8
R_d	日照下暗呼吸	2.08	2.42	0.61
C_{psom}	初始惰性土壤有机质碳	1.49	1.85	0.58
C_{mi}	初始代谢性根凋落物碳	0.97	0.05	2.19
f	生长呼吸系数	0.95	0	3.79
N_s	植物残体氮含量	0.81	0.02	4.48
C_{sal}	初始地表结构性凋落物碳	0.79	0.57	0
C_{sm}	初始地表微生物碳	0.69	0.04	1.42
W_s	土壤饱和含水量	0.58	0	2.07
C_{ssom}	初始慢性土壤有机质碳	0.53	0.63	0.19
C_{srl}	初始结构性根凋落物碳	0.48	0.1	0.44
S	气孔导度模型参数	0.3	0.3	0.03
W_{opt}	有机碳分解适宜土壤含水量	0.2	0.01	0.46

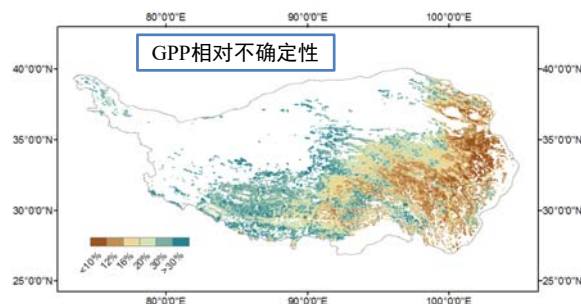


- 由5个参数引起的NEE年总量不确定性约占总误差的92%
- 模拟的2003-2005年GPP和RE的不确定性为5-8%, NEE年总量的不确定性为23-37%。
- 日尺度NEE模拟值的不确定性随NEE量级的增加而增大, 在生长季期间达到最大。

Zhang Li et al., JFR, 2012

区域尺度碳通量模拟及不确定性分析

——青藏高原高寒草甸区域GPP不确定性及其来源



区域GPP相对不确定性RU

18.3% (6.9%-34.6%)

$$RU(\%) = \frac{2 \cdot Std}{Mean} \times 100$$

Sobol' 不确定性拆分结果 (map-labeling method)

变量	Sobol' 一阶敏感度(S_i)	Sobol' 总敏感度(S_{Ti})
ϵ_0	0.21812	0.21988
T	0.07025	0.08009
PAR	0.36756	0.36843
EVI	0.26846	0.26862
LSWI	0.07072	0.07369
sum	0.99511	1.01071

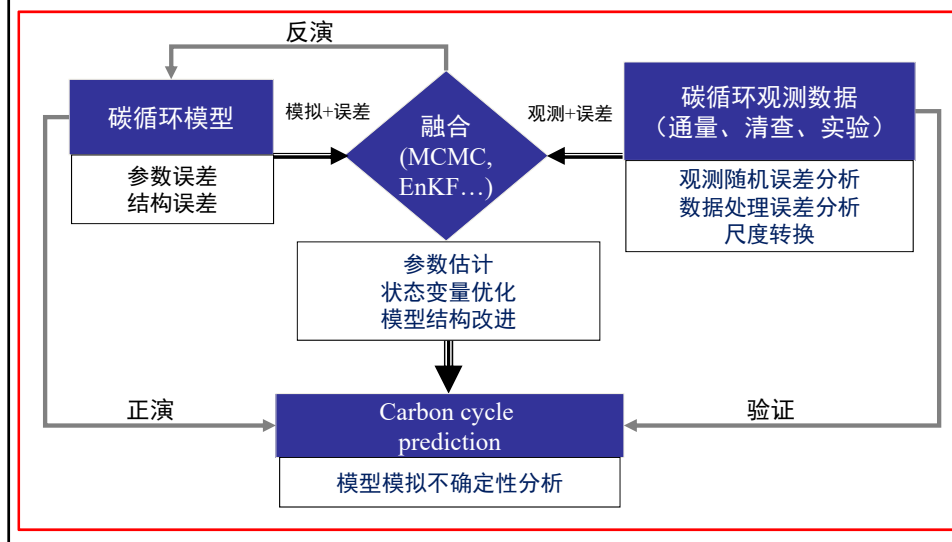
✓输入变量不确定性贡献排行

PAR>EVI> ϵ_0 >T≈LSWI

✓ ϵ_0 是光能利用率模型的最大不确定性来源; 驱动数据的不确定性同样重需要给以足够的重视

He et al., 2014, JGR-Biogeosciences

运用模型数据融合系统 分析区域及全国碳水循环的时空变异



研究方法—多模式+情景实验

• 多模型模拟 (CEVSA2, BEPS, TEC)

— 统一的模型输入数据 (气象要素、大气CO₂浓度、土地覆盖类型等)

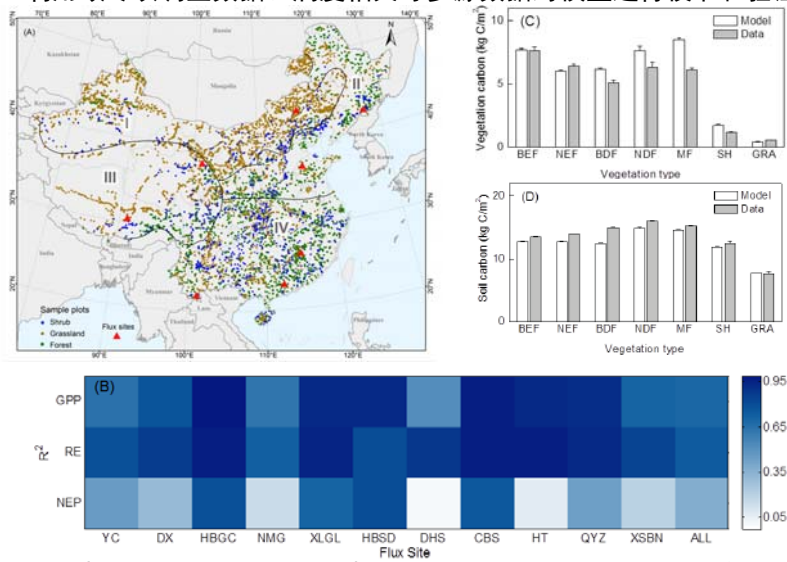
模型	CEVSA2	BEPS	TEC
时空分辨率	10天, 10 km	天, 8 km	月, 8 km
模拟时段	1951–2010	1901–2011	1961–2011
物候模拟	预测	AVHRR和MODIS LAI	AVHRR NDVI
光合作用模拟	Farquhar模型, 大叶	Farquhar模型, 阴阳叶	LUE
土壤碳分解模拟	一阶方程	一阶方程	一阶方程
模型输入	气候, CO ₂ , 土壤, 氮沉降, PFT	气候, CO ₂ , 土壤, LAI, PFT	气候, CO ₂ , 土壤, LAI, FPAR, PFT
模型输出	GPP, NPP, NEP, 碳库	GPP, NPP, NEP, 碳库	GPP, NPP, NEP, 碳库
参考文献	Gu et al., 2010; Gu et al., 2015; Gu et al., 2017a; Gu et al., 2017b	Ju et al., 2010	Yan et al., 2015

■ 多因子模拟实验

实验	CO ₂	气候	大气氮沉降	土地覆盖	情景
I	固定*	固定#	-	2010	参考
II	固定*	动态	-	2010	气候
III	动态	动态	-	2010	气候+CO ₂
IV	动态	动态	动态	2010	气候+CO ₂ +氮沉降
V	动态	动态	动态	1990, 2000, 2010	敏感性分析

模型校准和验证

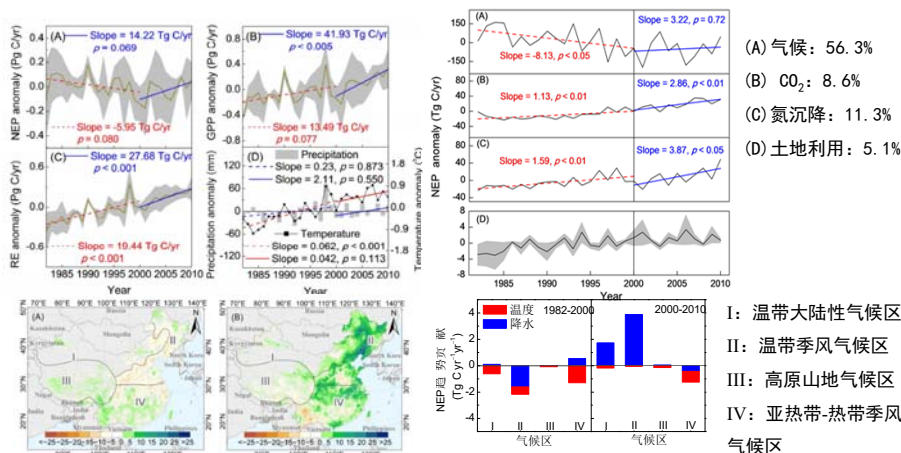
利用碳专项调查数据、涡度相关等多源数据对模型进行校准和验证



碳库（植被、土壤）和碳通量（GPP、RE、NEP）验证效果

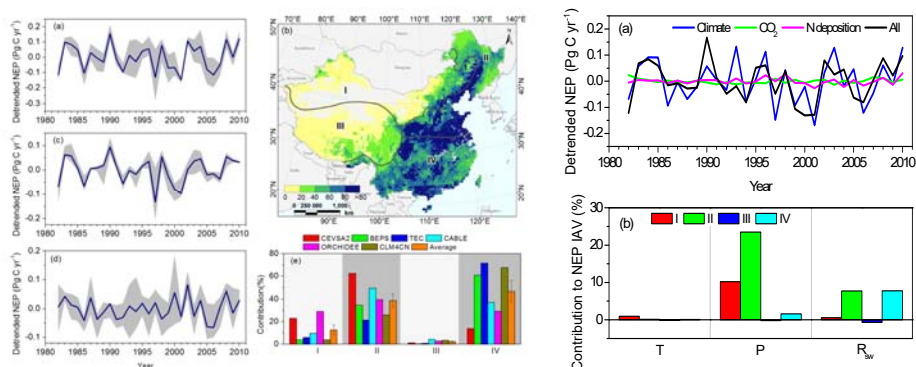
季风增强和增温减缓对中国陆地碳吸收的影响

- 揭示了气候变化对中国近30年陆地NEP趋势转变的作用
- 东亚夏季风增强引起了中国温带季风气候区降水增加，促进了该地区生态系统的碳吸收能力；同时，各个气候区增暖趋缓使NEP下降速率减小。



He et al., 2018, NSR, 2019

中国陆地净生态系统生产力年际变化的区域贡献及气候归因

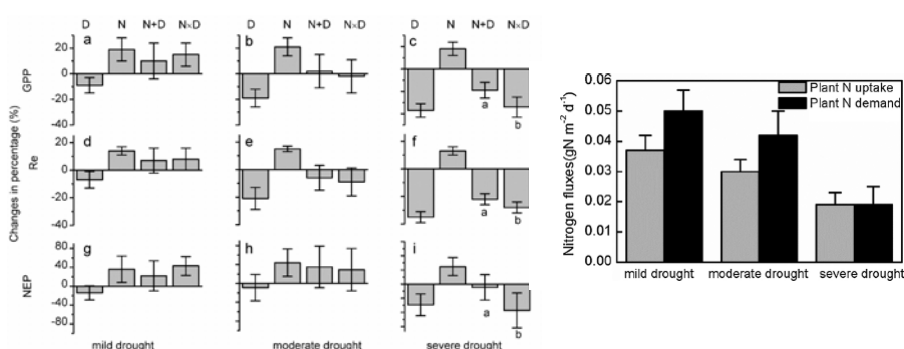


- 季风区是全国NEP年际变化的主要贡献区，多模型模拟的贡献率范围为69%–96%，平均贡献率为86%
- 降水量的年际波动是影响全国陆地NEP年际变化的主要气候因子，其中温带季风气候区降水量变化的贡献率最高（23%）

I: 温带大陆性气候区;
 II: 温带季风气候区;
 III: 高原山地气候区;
 IV: 亚热带-热带季风气候区

Zhang et al., 2019, ERL

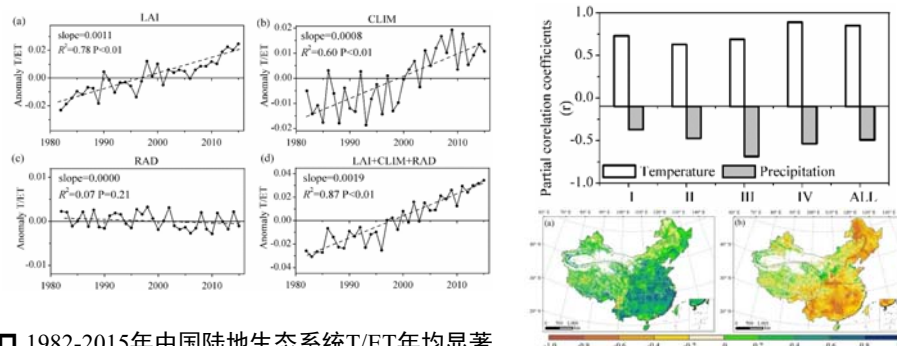
季节性干旱和氮沉降及其交互作用对亚热带森林碳通量的影响



- 氮添加对碳通量的促进作用随干旱程度加剧而降低，季节性干旱和氮添加的交互作用在轻度和中度干旱时呈叠加效应，在重度干旱时呈非叠加效应
- 气候变化加剧东亚季风区季节性干旱背景下，氮沉降对该地区亚热带森林碳汇的促进作用可能会减弱

Li et al., AFM, 2018

绿化及增温导致近三十年中国陆地生态系统T/ET上升



- 1982-2015年中国陆地生态系统T/ET年均显著上升0.0019 ($P < 0.01$)
- 绿化 ('LAI') 及气候变化 ('CLIM') 分别可解释T/ET上升趋势的57.89%及42.11%
- 能量因子 ('RAD') 对T/ET变化趋势影响很小

- 气候变化导致的T/ET与气候因子之间的偏相关分析表明，增温是T/ET年际变化的主导因子

I: 温带大陆性气候区
 II: 温带季风气候区
 III: 高原山地气候区
 IV: 亚热带-热带季风气候区

Niu et al., 2018, AFM, accepted

主要参考文献

1. Liu M, He HL, Yu GR, Luo YQ, Sun XM, Wang HM. Uncertainty analysis of CO₂ flux components in subtropical evergreen coniferous plantation. *Science in China Series D-Earth Sciences*, Feb 2009, 52(2):257-268.
2. He HL, et al. Uncertainty analysis of eddy flux measurements in typical ecosystems of ChinaFLUX. *Ecol Inform*, 2010, 5:492-502.
3. Zhang L, et al. Estimated carbon residence times in three forest ecosystems of eastern China: Applications of probabilistic inversion. *Journal of Geophysical Research-Biogeosciences*, 2010, 115., G01010, doi:10.1029/2009JG001004.
4. Zhang L, et al. Uncertainty analysis of modeled carbon fluxes for a broad-leaved Korean pine mixed forest using a process-based ecosystem model. *J Forest Res*, 2012, 17:268-82.
5. Liu M, et al. Uncertainty analysis in data processing on the estimation of net carbon exchanges at different forest ecosystems in China. *J Forest Res*, 2012, 17:312-22.
6. Ren XL, et al. Uncertainty analysis of modeled carbon and water fluxes in a subtropical coniferous plantation. *Journal of Geophysical Research-Biogeosciences*, 2013, 118:1674-88.
7. He HL, et al. Large-scale estimation and uncertainty analysis of gross primary production in Tibetan alpine grasslands. *Journal of Geophysical Research: Biogeosciences*, 2014, 119(3), 466-486
8. Ren XL, et al. Modeling and uncertainty analysis of carbon and water fluxes in a broad-leaved Korean pine mixed forest based on model-data fusion, *Ecological Modelling*, 2018, 379, 39-53.

主要参考文献

9. Zhang L, et al. Evaluation of the Community Land Model simulated carbon and water fluxes against observations over ChinaFLUX sites. *Agricultural and Forest Meteorology*, 2016, 226, 174-185.
10. Li P, et al. Interactive effects of seasonal drought and nitrogen deposition on carbon fluxes in a subtropical evergreen coniferous forest in the East Asian monsoon region. *Agricultural and Forest Meteorology*, 2018, 263: 90-99.
11. Ge R, et al. A Satellite-Based Model for Simulating Ecosystem Respiration in the Tibetan and Inner Mongolian Grasslands. *Remote Sensing*, 2018, 10(1):149
12. Ge R. et al. Underestimated ecosystem carbon turnover time and sequestration under the steady state assumption: a perspective from long-term data assimilation, *Global Change Biology*, 2019,25:938–953.
13. He HL, et al. Altered trends in carbon uptake in China's terrestrial ecosystems under the enhanced summer monsoon and warming hiatus. *National Science Review*, 2019, 6(3): 505–514
14. Zhang L, et al. Interannual variability of terrestrial net ecosystem productivity over China: regional contributions and climate attribution. *Environmental Research Letters*, 2019, 14, 014003
15. Niu ZE, et al. An increasing trend in the ratio of transpiration to total terrestrial evapotranspiration in China from 1982 to 2015 caused by greening and warming. *Agricultural and Forest Meteorology*, 2019, accepted

谢谢!

li.zhang@igsnrr.ac.cn